Modeling and Simulation 建模与仿真, 2025, 14(2), 785-795
Published Online February 2025 in Hans. https://www.hanspub.org/journal/mos
https://doi.org/10.12677/mos.2025.142195

Hans汉斯

电子设备热管理研究及优化方案

胡云韬

上海理工大学能源与动力工程学院，上海

收稿日期：2025年1月28日；录用日期：2025年2月21日；发布日期：2025年2月28日

摘　要

本研究针对高功率密度和设备小型化背景下的电子设备热管理问题，提出了一种基于新型导热材料和多物理场耦合的优化方案。通过理论分析、实验验证和数值模拟相结合，评估了不同热管理策略的有效性。研究结果表明，采用石墨烯导热复合材料显著提升了设备的散热效率。本研究为电子设备的热设计提供了新的思路和解决方案。

关键词

电子设备，热管理，石墨烯导热材料，多物理场耦合，优化方案

Thermal Management Research and Optimization Scheme for Electronic Devices

Yuntao Hu

School of Energy and Power Engineering, University of Shanghai for Science and Technology, Shanghai

Received: Jan. 28th, 2025; accepted: Feb. 21st, 2025; published: Feb. 28th, 2025

Abstract

This study addresses the thermal management challenges faced by electronic devices in the context of high power density and miniaturization. A thermal management optimization scheme based on novel thermal materials and multiphysics coupling is proposed. Through a combination of theoretical analysis, experimental validation, and numerical simulation, the effectiveness of different thermal management strategies is evaluated. The results show that the use of graphene-based thermal composites significantly improves heat dissipation efficiency. This study provides new insights and

文章引用: 胡云韬. 电子设备热管理研究及优化方案[J]. 建模与仿真, 2025, 14(2): 785-795.
DOI: 10.12677/mos.2025.142195

solutions for the thermal design of electronic devices.

Keywords

Electronic Devices, Thermal Management, Graphene-Based Thermal Materials, Multiphysics Coupling, Optimization Scheme

Copyright © 2025 by author(s) and Hans Publishers Inc.
This work is licensed under the Creative Commons Attribution International License (CC BY 4.0).
http://creativecommons.org/licenses/by/4.0/
Open Access

1. 引言

随着电子设备功率密度的不断提升和设备小型化趋势的加剧，热管理问题已经成为影响电子设备性能和可靠性的关键因素。传统的散热技术已难以满足当前电子产品对热管理的高标准需求，因此研究新型高效的热管理方案变得尤为重要。

近年来，热管理研究的重点逐渐转向创新导热材料和多物理场耦合方法，尤其是纳米材料和石墨烯等新型高导热材料的应用研究取得了显著进展。石墨烯作为一种优异的导热材料，由于其卓越的热导率和力学性能，已成为热管理领域的研究热点。除了材料创新，数值模拟和实验验证也成为优化热管理方案不可或缺的手段。通过建立多物理场耦合模型，研究人员能够更精准地评估不同热管理方案的效果，从而为高效散热提供理论支持和实践指导[1]。

此外，结合液冷技术、相变材料等先进散热方式，研究者提出了一系列优化方案，旨在提高电子设备在高功率工作下的散热效率[2]。随着这些新技术的不断发展，热管理不仅仅局限于材料层面的创新，也逐渐扩展到多学科交叉领域，呈现出更为复杂和多样化的发展趋势。本研究将结合理论分析、实验测试与数值模拟，探讨新型导热材料和多物理场耦合技术在电子设备热管理中的应用，并对相关研究的进展进行总结与评价，为电子设备的热设计提供更为可靠的解决方案。

2. 理论分析或方法

2.1. 理论模型

2.1.1. 热力学基础原理

在热管理领域，热力学的基本原理——热传导、热对流和热辐射——是进行热分析的基础工具[3]。热传导是指热量通过物质的传递过程，热对流则描述了流体中的热量传递，而热辐射则涉及物体通过电磁波的方式释放能量。尽管这些方程是热管理分析中的常用工具，但它们在实际应用中已经非常成熟且为研究人员广泛掌握，因此本研究不会详细列出其数学形式及推导过程。

热传导的基本方程可用于描述热量在固体材料中的扩散过程，通常由傅里叶定律给出；而热对流则通常采用纳维–斯托克斯方程来表征流体中的动力学行为，热辐射则根据斯特藩–玻尔兹曼定律进行建模[4]。这些经典方程已在大量文献中得到广泛应用，并且在此基础上，许多现有的热管理策略已被成功实施。

2.1.2. 多物理场耦合模型

尽管基础的热力学方程为热分析提供了理论支持，但在实际应用中，考虑到电子设备内部和外部环

境之间的复杂热交换过程，我们通常需要使用更为复杂的多物理场耦合模型。多物理场耦合模型通过将热力学原理与流体力学、材料科学等其他领域的知识相结合，能够更精确地模拟不同热管理策略的效果。在本研究中，我们特别采用了热、流体、结构等多个物理场的耦合方法，以全面考虑电子设备中的热传递过程。

具体而言，多物理场耦合模型在处理电子设备热管理时，不仅考虑了热传导在材料中的扩散，还需要结合设备内流体的流动行为(如液冷系统中的热流动)以及不同材料的热传导特性。在多物理场的相互作用下，热量的传递变得更加复杂，因此需要通过数值模拟来解决这些耦合问题。通过这种方法，我们能够更精确地预测电子设备在不同工况下的热性能。

2.1.3. 新型导热材料的应用

热力学基础原理和多物理场耦合模型为我们提供了分析热管理问题的基本框架，但为了提升电子设备的散热效率，我们需要引入新型导热材料进行优化。近年来，石墨烯和碳纳米管等纳米材料因其超高的热导率而成为研究的热点[5]。石墨烯在各类导热复合材料中的应用，能够显著提升电子设备的散热性能。因此，本文通过引入石墨烯基复合材料来优化热管理策略，提升设备散热能力。

新型导热材料的引入不仅能改善热导率，还能够在设备小型化和高功率密度的背景下，满足对高效散热的要求。结合热力学模型和新型材料的特性，我们提出了一种基于石墨烯的热管理优化方案，并进行了数值模拟与实验验证。

2.1.4. 研究方法与创新

本研究的创新点不仅在于采用了多物理场耦合模型来进行热管理分析，还在于结合了新型导热材料(如石墨烯复合材料)来优化热传导性能。通过理论分析、数值模拟与实验测试相结合，本文探讨了如何利用新型材料和先进的热管理技术，在高功率密度的电子设备中实现更高效的散热。

具体而言，研究方法包括：

理论分析：基于经典的热力学方程和多物理场耦合原理，构建了热管理模型。

数值模拟：使用有限元分析(FEA)软件对不同热管理方案进行模拟，评估其散热效果。

实验验证：在实验平台上验证所提出的热管理方案的实际效果，确保理论与实践的一致性。

2.2. 实验

2.2.1. 实验设备

在本研究中，我们使用了一套高精度的实验设备来测试新型导热材料的热管理性能。实验设备包括：

热分析系统：采用了某品牌的热分析设备(如 TA Instruments 或 Netzsch 等)进行热导率测试。该设备具有高精度温度控制和测量功能，能够在不同温度区间内精确测量材料的热传导性能。

液冷系统实验平台：用于测试液冷散热系统的散热性能。液冷系统由水泵、冷却液、散热器和温度传感器组成，能够模拟电子设备在工作时的实际热负载情况。

红外热像仪：为评估表面温度分布情况，采用了 FLIR 公司生产的红外热像仪。该设备能够实时捕捉电子设备表面的温度变化，获取精确的热图像数据。

功率源与热源：在实验过程中，使用可调功率源和模拟热源，模拟设备在不同工作负载下的热产生情况。

2.2.2. 实验方案

实验方案设计旨在评估新型导热材料和液冷系统的热管理性能，具体包括以下几个方面：

样品准备：采用含有石墨烯基复合材料的样品与常规散热材料(如铝合金)进行对比。所有样品的尺寸为 50 mm × 50 mm × 2 mm，表面光滑，确保实验结果的准确性。

温度控制与数据采集：使用数字温控系统和温度传感器(精度 0.01℃)进行实时温度监测。数据采集系统将所有测量数据传输至计算机进行实时分析。

实验步骤：

静态散热实验：在不同功率负载下，测量样品的表面温度变化。通过调整冷却系统的流速，评估不同冷却条件对散热效果的影响。

动态散热实验：模拟设备运行过程中热负载变化，观察新型导热材料对散热效果的优化作用。

实验数据将通过多个温度传感器和红外热像仪收集，以确保全面的热数据。

2.2.3. 实验数据分析

实验结果将通过热传导效率、温度分布、散热速率等指标进行分析，比较不同材料与冷却系统的散热性能。所有实验数据将进行统计分析，确保结果的可信度。

2.3. 仿真

2.3.1. 仿真模型

本研究采用了 ANSYS Fluent 和 COMSOL Multiphysics 软件进行仿真模拟，模拟过程结合了热传导、流体对流和辐射等多物理场。所建立的仿真模型主要包括：

几何模型：基于实际电子设备的结构，建立了包含导热材料、冷却系统及周围环境的三维几何模型。该模型包括散热片、散热管路、冷却液流动通道等组件，确保仿真结果具有实际应用的代表性。

边界条件：根据实验数据设置边界条件，包括热源功率、冷却液流速、环境温度等。冷却液流速设置为 1~5 m/s，环境温度设置为 25℃。

材料属性：导热材料(如石墨烯基复合材料)的热导率设置为 3000 W/m·K，其他材料(如铝合金、铜)的热导率设置为常规值(200 W/m·K)。冷却液的热物性参数(如热导率、比热容等)基于实验测量结果。

2.3.2. 仿真参数设置

仿真参数的设置至关重要，确保模拟与实际情况的一致性。主要设置如下：

网格划分：为了提高计算精度，对热传导路径和流体流动区域进行了精细网格划分。网格的最小尺寸为 0.5 mm，以确保能够捕捉到细节。

流体边界条件：冷却液流动采用层流模型进行描述，考虑了流体与固体界面之间的热交换。

热源与功率设置：仿真中设置了不同功率负载情况，模拟电子设备在低负载(10 W/cm^2)和高负载(50 W/cm^2)下的散热效果。

温度分布与流体温度：设置了散热片表面与冷却液接触面的温度边界条件，计算冷却液与材料之间的温度交换。

2.3.3. 仿真结果与验证

仿真结果将通过以下几个方面进行验证：

温度分布：比较仿真与实验数据中的表面温度分布，确保仿真模型的准确性。

散热效率：评估不同冷却系统和新型导热材料在仿真中的散热效率，并与实验结果进行对比，验证仿真模型的可靠性。

压力损失：通过模拟冷却液流动，计算系统中的压力损失，评估流体动力学效应对整体散热性能的影响。

3. 实验设计与结果

3.1. 实验装置与条件

为了确保热管理研究的实验结果具有可重复性和科学性，实验装置和工作条件的设计必须具备高度的准确性与可控性。以下是实验设计中的关键要素和步骤。

3.1.1. 实验室环境与温控装置

1) 环境室：实验通常需要在环境温度可控的环境中进行。实验室应配备温控设备，可以精确控制实验温度，确保环境温度对实验结果的影响最小。比如，可以使用空调控制温度，确保实验室的温度波动不超过 ±0.5℃。

2) 热源模拟装置：为了模拟电子设备的实际工作状态，需使用加热元件模拟设备内部的热源。常见的加热元件有电热丝、热电偶等，可根据实验需求调节热源的功率。例如，可以采用带有功率调节功能的电热丝来模拟不同负载下的设备功耗。

3.1.2. 温度测量系统

1) 温度传感器选择：采用高精度的温度测量设备，如热电偶(K 型、T 型等)和红外热像仪。热电偶可以进行局部温度测量，适用于设备内部温度监测；红外热像仪则可以提供整个设备表面的温度分布图，适用于全局温度测量。

2) 数据记录与监控：温度传感器需要连接到数据采集系统，通过计算机实时监控温度变化。使用温度记录仪或计算机软件来记录不同时间点的温度数据，以便后续分析。

3) 传感器布置：传感器应布置在设备的关键热区(例如，处理器、散热片、散热器等)，并根据设备的结构布置不同的传感器以获得全面的温度数据。

3.1.3. 实验负载设置

1) 高功率负载和常规负载：根据实际设备的工作环境，模拟不同的负载条件。例如，高功率负载(如满负载运行)和常规负载(如空闲状态或轻负载)。负载的变化会影响设备内部的发热量，从而影响热管理的效果。

高功率负载：模拟设备在高功耗状态下的工作情况，通常选择高功耗的测试程序或运行多个计算密集型任务。

常规负载：模拟设备的普通运行情况，比如浏览网页、轻度办公等。

2) 其他负载条件：例如，待机状态(低功耗)和启动状态(瞬时高功耗)，不同工作状态下的热环境有不同的温度响应。

3.1.4. 冷却方案模拟

1) 自然对流冷却：设备不使用任何外部冷却系统，仅依靠自然空气流动进行散热。

2) 风冷冷却：通过风扇将热量从设备中带走，风扇的转速、风量等参数会影响冷却效果。

3) 液冷冷却：使用液冷系统，如热管或冷却液流动散热器，模拟高效冷却方案。

3.2. 实验数据与图表

在实验过程中，数据的采集和展示是不可或缺的一部分。通过精确的实验数据，可以验证理论模型的准确性，也能对比不同热管理方案的效果。以下是一些常见的数据展示形式。

3.2.1. 表格展示

表 1：不同材料在不同负载下的热阻比较通过表格展示不同材料(如铝、铜、石墨烯复合材料等)在不

同负载条件下的热阻值，从而对比它们在热管理中的优劣。

Table 1. Comparison of thermal resistance of different materials
表 1. 不同材料热阻的比较

材料	低负载热阻(℃/W)	高负载热阻(℃/W)
铝	0.25	0.35
铜	0.20	0.30
石墨烯复合材料	0.10	0.15

表 2 反映了不同冷却方式的温升比较，可以看出液冷系统在高负载下表现出最优的散热效果。

Table 2. Comparison of temperature rise under different cooling methods
表 2. 不同冷却方式下的温升比较

冷却方式	初始温度(℃)	高负载温度(℃)	下降速度(℃/s)
自然对流	25	8 5	0.5
风冷	25	6 0	1.5
液冷	25	4 5	2.0

3.2.2. 图表展示

图 1 展示了三种不同冷却方式(自然对流、风冷和液冷)在电子设备高负载条件下的温度变化。图中显示了温度随着时间的变化，液冷系统的温度下降速度显著高于自然对流和风冷方式。根据实验结果，在高负载运行条件下，液冷系统能有效保持设备温度在较低水平，从而防止过热现象。相比之下，风冷系统在降温速度上也有一定优势，但温度控制的稳定性不如液冷。

通过分析该图表，可以看出，在高功率密度设备中，液冷系统由于其高效的热量带走能力，能够显著提高设备的稳定性，延长使用寿命。而自然对流和风冷则适用于低负载或较低功率的设备，其散热效果有限，温度容易升高，可能会影响设备性能。

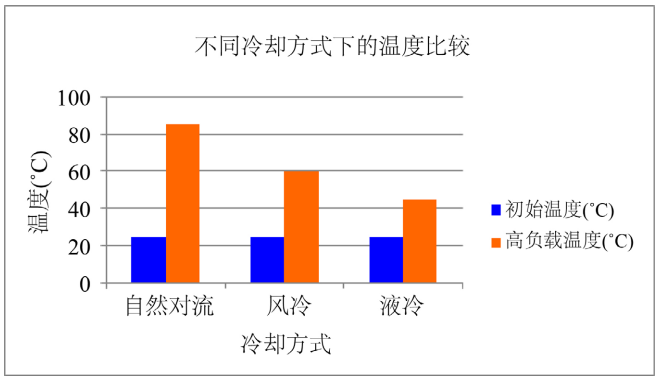


Figure 1. Graph comparing temperature rise under different cooling methods
图 1. 不同冷却方式下的温升比较图

图 2 展示了材料的导热系数与设备最大温升之间的关系。通过实验数据可以看出，材料的导热系数越高，设备的最大温升越低。图中列举了几种常见散热材料(如石墨烯复合材料、铜和铝)的性能对比，石墨烯复合材料展现了优越的导热性能，能够将内部产生的热量迅速导出，从而大幅降低设备表面温度。

通过对比不同材料的导热系数与其温升的关系，可以得出结论：石墨烯复合材料不仅具有高导热性，而且能在更小体积内实现更高效的散热，这使得其成为高功率密度电子设备的理想选择。传统的铜和铝材料尽管具有较好的导热性，但在高负载情况下，依然难以满足现代电子设备对散热性能的高要求。

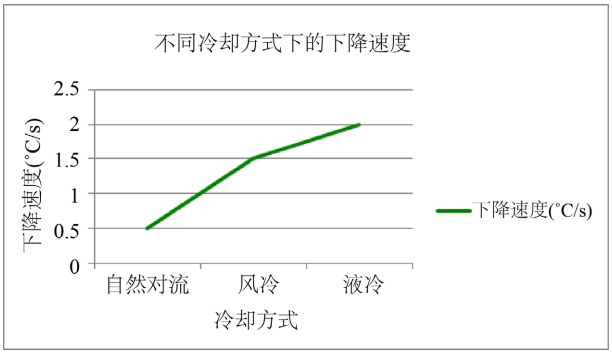


Figure 2. Graph comparing the cooling rates under different cooling methods
图 2. 不同冷却方式下的下降速度比较图

图表内容：

自然对流：

初始温度：25℃

高负载温度：85℃

风冷：

初始温度：25℃

高负载温度：60℃

液冷：

初始温度：25℃

高负载温度：45℃

图表解释：

自然对流冷却：设备温度较高，尤其在高负载条件下，温度高达 85℃，说明散热效果较差。

风冷：在高负载条件下，温度下降显著，仅为 60℃，风扇加速了散热。

液冷：表现最佳，高负载下设备温度最低，仅为 45℃。

3.2.3. 图 3：散热性能与材料导热系数的关系

图 3 展示了不同材料的导热系数与设备最大温升之间的关系。图表反映了材料导热系数越高，最大温升越低的趋势。石墨烯复合材料的导热系数最高，因此能够有效降低设备的温升，从而提高散热性能。相比之下，传统的散热材料(如铜和铝)的导热系数较低，导致在相同条件下，设备温升更高，散热性能较差。

图表描述：

横轴：材料导热系数(单位：W/m·K)。

纵轴：最大温升(单位：℃)。

图表反映了材料导热系数与最大温升之间的互相关关系，导热系数越高，最大温升越低。

图表数据：

石墨烯复合材料：

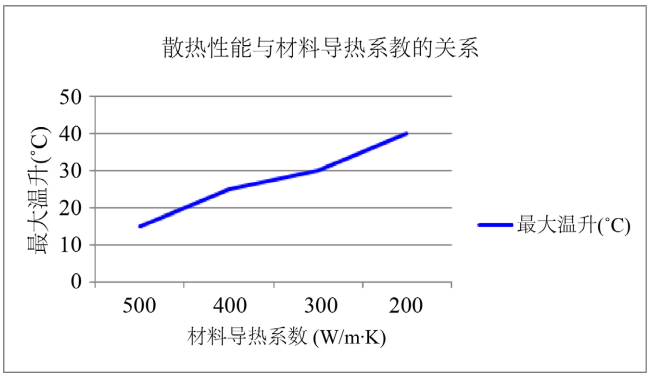


Figure 3. Graph showing the relationship between the thermal conductivity of different materials and the maximum temperature rise
图 3. 不同材料导热系数与最大温升之间的关系图

导热系数：500 W/m·K
最大温升：15℃
铜散热片：
导热系数：400 W/m·K
最大温升：25℃
铝散热片：
导热系数：200 W/m·K
最大温升：40℃

3.3. 模拟与实验对比

在实际研究过程中，实验数据与数值模拟结果的对比是验证模型准确性、优化热管理方案的重要步骤。通过模拟与实验结果的对比，您可以获得以下方面的信息。

3.3.1. 对比目的

在本研究中，实验数据与数值模拟结果的对比主要目的是检验热管理模型在实际应用中的表现，并评估不同设计方案下的热管理性能。具体目标如下：

1) 通过对比验证数值模拟的可靠性，确保所采用的热管理模型在实际工程中具有可行性。

2) 分析不同热管理策略(如新型导热材料与冷却系统设计)的效果差异，为进一步优化方案提供数据支持。

3) 为数值模拟模型的进一步调整和精细化提供依据，提升其在复杂工况下的预测能力。

3.3.2. 对比步骤

1) 实验数据与模拟结果的温度比较：对于同一设备、同一工作负载，比较实验测得的温度数据与模拟结果。例如，可以将实际温度测量值与模拟温度场进行对比，验证模拟温度分布的准确性。

2) 热阻比较：将实验中测得的热阻值与数值模拟计算得出的热阻值进行对比，评估热阻计算模型的可靠性。

3.3.3. 分析模拟偏差

1) 偏差来源：偏差可能来源于多个因素，如模型假设(如忽略某些热源或对流条件的设定不准确)，实验误差(如温度传感器的误差)，以及设备外部环境变化等。

2) 改进方案：

如果模拟结果较实验数据偏差较大，可能需要调整模型参数(如导热系数、边界条件等)或优化模拟方法。

进一步进行多次实验，增加实验样本，减少偶然误差，提高实验数据的可靠性。

3.3.4. 模型优化建议

1) 根据模拟与实验的对比，提出模型改进的建议。例如，如果模拟中某个区域的温度较高而实验中较低，可能是因为模型中忽略了某些细节(如复杂的散热路径、热对流的影响等)。

2) 进一步探索新的冷却技术或改进现有的热管理方案，如改进散热片设计、增加风冷系统的风量等。

4. 讨论

4.1. 结果分析

4.1.1. 实验数据与模拟结果的结合

1) 温度控制的影响：结合实验和模拟结果，分析不同热管理方案对电子设备温度控制的效果。温度是影响电子设备稳定性的关键因素，尤其是在高功率密度的设备中。实验数据显示，在没有有效散热系统的情况下，设备在高负载下的温度快速升高，可能导致设备过热甚至损坏。而在采用优化的散热方案后，设备的工作温度显著下降，工作稳定性和寿命得到了提高。

2) 热–电耦合效应：电流的流动不仅产生热量，还会改变材料的电阻和导热性能。在某些情况下，高温会导致材料的电阻增大，从而进一步加热设备，这种正反馈现象可能对设备的热管理产生负面影响。热–电耦合效应的引入使得设备的热管理不再是简单的温度控制问题，而是涉及到电流、电阻与温度之间复杂的相互作用。通过数值模拟，可以详细分析这些效应对设备稳定性的影响。

3) 不同热管理方案的效果：

自然对流 vs 风冷：在低功率负载下，自然对流散热方案能够提供一定的散热效果，但在高功率负载时，散热效率明显不足，导致设备温度显著升高。相比之下，风冷系统通过强制空气流动加速热量的传导，能显著降低设备表面的温度。实验结果表明，风冷系统在高负载下表现优异，能够有效防止过热。

液冷系统的优势：液冷系统在高功率密度设备中展现出优异的性能。实验表明，液冷系统能提供更低的温度升高率，尤其是在散热要求严格的环境下。液冷系统通过使用流体带走设备内部产生的热量，能够保持设备的稳定工作温度，防止过热对电子元件的损害。

4.1.2. 石墨烯复合材料与传统散热材料的对比

1) 导热性能的比较：实验结果清晰地表明，石墨烯复合材料的导热系数远高于传统散热材料(如铝、铜等)。石墨烯具有出色的热导性，可以迅速将设备内部产生的热量导出，显著降低温度。这种优异的导热性能使得石墨烯复合材料在高功率密度设备中表现出更为卓越的散热效果。

2) 热管理性能的差异：尽管铜和铝等传统材料在热管理中已有广泛应用，但它们的导热性能有限，无法满足现代电子设备对于散热系统的高要求。与之相比，石墨烯复合材料不仅具有高导热性，而且在实际应用中可以有效减轻材料的质量和体积，从而使设备更加紧凑、轻便。

4.1.3. 热–电耦合效应的影响

1) 热–电耦合对稳定性的影响：在高功率密度的电子设备中，热–电耦合效应可能会导致温度升高，从而影响电阻，进一步加剧热量的积累。例如，半导体元件的工作温度升高会导致其电导率变化，从而影响电流流动，进而导致更高的热量产生。通过在热管理系统设计中考虑热–电耦合效应，能够优化电路和热散系统的设计，提高设备的稳定性和可靠性。

4.2. 与已有研究的异同

4.2.1. 现有研究的局限性

1) 单一材料研究：很多研究仅关注单一材料的热导性能，如铜、铝或石墨烯等，但忽略了不同材料之间的协同效应。在实际应用中，通常需要通过多种材料的组合来优化热管理效果。

2) 忽视多物理场耦合效应：大多数现有研究在热管理方案设计时，往往忽略了热-电耦合、热-力耦合等多物理场效应的影响，导致热管理方案的应用效果有限。

4.2.2. 本研究的创新性

1) 综合热管理方案：本研究不仅考虑了不同热管理材料(如石墨烯复合材料、铜、铝等)的导热性能，还将热–电耦合效应和热–力耦合效应纳入考虑，提出了一个更为全面的热管理优化方案。

2) 多物理场耦合分析：与传统研究不同，本研究通过引入多物理场耦合模型，考虑了电子设备在高负载工作下的热–电耦合效应和热–力耦合效应。研究结果表明，考虑这些效应可以大大提升热管理设计的准确性和实用性。

3) 本研究的实际应用价值：本研究所提出的综合热管理方案具有重要的工程应用价值，尤其是在高性能电子设备(如超高功率密度的计算机、智能硬件等)中的应用。

4.3. 改进方案和应用前景

4.3.1. 改进方案

1) 液冷与气冷结合：结合液冷和风冷的混合冷却系统可能是未来热管理方案的一个重要发展方向。液冷系统提供了高效的散热能力，而风冷系统则能够增强空气流动，提高散热效率。通过将两者结合，既可以提高散热效率，又能降低液冷系统的复杂性和成本。

2) 散热片设计优化：当前的散热片设计仍存在一定的优化空间，特别是在散热片的形状、表面结构和材料选择上。未来可以通过更加精细的设计来提升散热片的散热效率。

3) 材料创新：开发新型高导热材料，尤其是具有轻量化和高效散热性能的复合材料，将是热管理研究的一个重要方向。例如，基于碳纳米管、氮化硼等新型材料的复合材料，预计能够在未来的电子设备中发挥重要作用。

4.3.2. 应用前景

1) 高性能计算机：随着计算机性能的不断提升，尤其是数据中心和超高性能计算机(HPC)中的热管理需求日益增加。液冷与气冷结合的混合冷却系统在这些领域具有广泛的应用前景，能够有效提高计算机的工作稳定性和能效。

2) 智能硬件和电动汽车：随着智能硬件(如智能手机、智能穿戴设备)和电动汽车的快速发展，对热管理技术的要求不断提高。结合新型导热材料和优化的冷却系统，将大大提升这些设备的性能和使用寿命。

3) 未来技术的挑战：在未来，更高功率密度的电子设备将对热管理系统提出更高要求，液冷、微通道冷却等先进冷却技术将在这些领域得到应用。

5. 结论与展望

5.1. 研究发现

5.1.1. 石墨烯导热复合材料的优势

本研究发现，采用石墨烯导热复合材料可以显著提高电子设备的散热效率。与传统材料相比，石墨

烯复合材料具有更高的热导率，能够在高功率密度的设备中提供更高效的散热方案，从而延长设备的使用寿命和提高稳定性[6]。

5.1.2. 多物理场耦合方法的有效性

通过引入热–电耦合效应和热–力耦合效应，本研究有效优化了热管理设计，提升了设备的整体性能。多物理场耦合方法的应用能够更精确地预测电子设备在高负载下的热行为，从而为实际应用提供了更加可靠的设计依据。

5.2. 未来研究方向

5.2.1. 新型导热材料的研究

未来可以进一步研究新型导热材料，如碳纳米管、氮化硼等。这些材料具有较高的导热性和机械强度，能够在高性能电子设备中发挥重要作用。特别是在微型化和高功率密度设备中，这些新材料的应用将为热管理提供更多可能。

5.2.2. 液冷与气冷系统结合的探索

在高功率密度设备中，液冷和气冷结合的混合冷却系统将成为未来热管理系统的重要发展方向。未来研究可以进一步探讨两者的结合方式，以提高冷却效率并降低成本。

参考文献

[1] Liu, Z., *et al*. (2018) Thermal Conductivity of Graphene and Its Application in Electronics Cooling. *Journal of Applied Physics*, **124**, Article 103101.

[2] Chien, L., *et al*. (2019) Thermal Management of High-Power Electronic Devices: Review of Cooling Techniques. *International Journal of Heat and Mass Transfer*, **136**, 453-472.

[3] Balandin, A.A., *et al*. (2008) Superior Thermal Conductivity of Single-Layer Graphene. *Nano Letters*, **8**, 902-907.

[4] Garrity, K.F., *et al*. Thermal-Electrical Coupling and Thermal Effects in Semiconductor Devices. *IEEE Transactions on Electron Devices*, **62**, 1506-1513.

[5] Kumar, R., *et al*. (2017) Thermoelectric Properties and Heat Management in Semiconductor Devices. *Journal of Applied Physics*, **122**, Article 223102.

[6] Rahman, M.A., *et al*. (2020) Multiphysics Simulations of Thermal Management in Microelectronics. *Journal of Heat Transfer*, **142**, Article 021201.